

Treball Gasos

Ferran de Miguel

28 de juny de 2022

Índex

1	Definició del problema	1
2	Equacions de discretització	2
2.1	Cambra de combustió	2
2.2	Tub 2	2
2.3	Fluid zona 3	3
2.4	Aire exterior 5	4
3	Algorisme de càlcul	5

1 Definició del problema

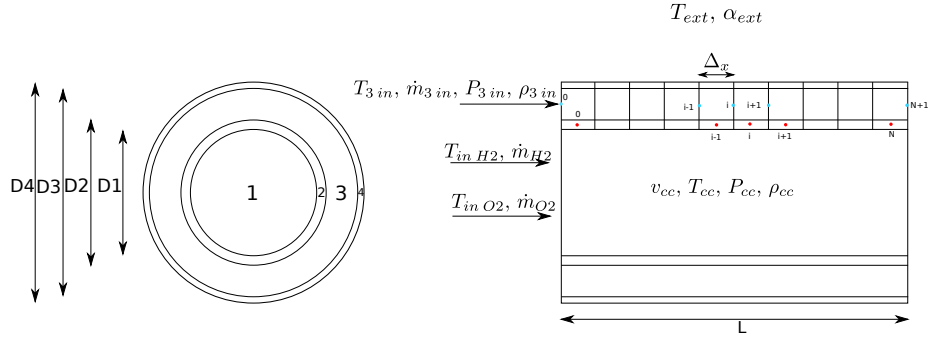


Figura 1: Representació del problema

En un conducte circular de diàmetre D1 entra una mescla de H2 i O2 que reaccionen per formar aigua i H2 o O2 en excés en la zona 1. La paret 2 de espessor $(D2 - D1)/2$, i feta d'un cert material, conté la reacció i transmet el calor de la cambra de combustió cap al fluid de la zona 3 que circula per un conducte anular. Aquest fluid és H2 gasos amb un cabal $\dot{m}_{3\text{ in}}$ i una temperatura

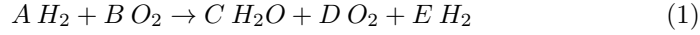
$T_{3\text{ in}}$. Finalment el fluid 3 és contingut per la paret 4 que es troba en contacte amb l'aire exterior.

L'objectiu és calcular la temperatura a les parets per veure quin material és capaç de resistir aquestes condicions, així com avaluar les calors intercanviades entre les diferents zones del problema.

2 Equacions de discretització

2.1 Cambra de combustió

Utilitzarem [2] per aquest apartat. L'equació química que tenim a la cambra de combustió és:



On A, B, C, D i E són els coeficients estequiomètrics, que dependran del cabal molar $A = \widehat{m}_{H_2}$ i $B = \widehat{m}_2$.

$$C, D \text{ i } E = \begin{cases} C = 1, D = 0, E = 0 & \text{si } B/2 = A, \\ C = A, D = B - C/2, E = 0 & \text{si } B/2 > A, \\ C = B/2, D = 0, E = A - C & \text{si } B/2 < A, \end{cases}$$

Nosaltres ens trobarem en el cas 3, on hi ha més fuel que oxidant, és a dir *fuel rich*. Per calcular la temperatura en la cambra de combustió utilitzarem la següent equació:

$$T_{cc} = T^\circ + \frac{\sum_R v_k \widehat{h}_k - \sum_P v_k \widehat{h}_{fk}^\circ - W_F \dot{Q}_{lost} / \dot{m}_F}{\sum_P v_k \widehat{c}_{pk}} \quad (2)$$

On $v_k = \frac{X_k}{A}$, $\widehat{h}_k = \widehat{h}_{fk}^\circ + \widehat{c}_{pk}(T_{cc} - T^\circ)$ i $\widehat{c}_{pk} = \frac{1}{T_{cc} - T^\circ} \int_{T^\circ}^{T_{cc}} \widehat{c}_{pk} dT$

Aquesta equació pel nostre cas on $\widehat{h}_{fH_2}^\circ = \widehat{h}_{fO_2}^\circ = 0$, $v_{H_2} = 1$ i considerant que $v_{O_2\text{ exces}} = 0$

$$T_{cc} = T^\circ + \frac{\int_{T^\circ}^{T_{inH_2}} \widehat{c}_{pH_2} dT + v_{O_2} \int_{T^\circ}^{T_{inO_2}} \widehat{c}_{pO_2} dT - v_{H_2O} \widehat{h}_{fH_2O}^\circ - \frac{W_F \dot{Q}_{lost}}{\dot{m}_F}}{v_{H_2O} \frac{1}{T_{cc} - T^\circ} \int_{T^\circ}^{T_{cc}} \widehat{c}_{pk} dT + v_{H_2\text{ exces}} \frac{1}{T_{cc} - T^\circ} \int_{T^\circ}^{T_{cc}} \widehat{c}_{pk} dT} \quad (3)$$

2.2 Tub 2

L'equació de discretització sobre un volum de control i serà:

$$\begin{aligned} & -\lambda_w \frac{T_2[i] - T_2[i-1]}{\Delta x} S_w + \lambda_e \frac{T_2[i+1] - T_2[i]}{\Delta x} S_e + \\ & + \alpha_{cc}(T_{cc} - T_2[i]) S_{2int} - \alpha_3[i](T_2[i] - T_{3i}) S_{2ext} = 0 \Rightarrow \\ & \Rightarrow T_2[i] \left(\frac{\lambda_w S_w}{\Delta x} + \frac{\lambda_e S_e}{\Delta x} + \alpha_{cc} S_{2int} + \alpha_3[i] S_{2ext} \right) = \\ & = T_2[i-1] \frac{\lambda_w S_w}{\Delta x} + T_2[i+1] \frac{\lambda_e S_e}{\Delta x} + T_{cc} \alpha_{cc} S_{2int} + \alpha_3[i] T_{3i} S_{2ext} \end{aligned} \quad (4)$$

Que es pot fàcilment reescriure com a una equació del tipus:

$$a_P T_P = a_E T_E + a_W T_W + b_P \quad (5)$$

on: $a_E = \frac{\lambda_e S_e}{\Delta x}$, $a_W = \frac{\lambda_w S_w}{\Delta x}$, $a_P = a_E + a_W + \alpha_{cc} S_{2int} + \alpha_3[i] S_{2ext}$ i

$$b_P = T_{cc} \alpha_{cc} S_{2int} + T_{3i} \alpha_3[i] S_{2ext}, \quad S_{2int} = \pi D_2 \Delta x, \quad S_{2ext} = \pi D_3 \Delta x$$

Per al tub 4 la discretització es la mateixa, modificant els paràmetres geomètrics, S, i els coeficients de transferència de calor α .

Per als nodes $i=0$, i $i=N$ assumirem condició de contorn adiabàtica i els coeficients seran $a_W = 0$ per al node 0, i $a_E = 0$ per al node N.

2.3 Fluid zona 3

Massa:

$$\rho_3[i] S_3 v_3[i] = \rho_3[i+1] S_3 v_3[i+1] = \dot{m}_{in} \quad (6)$$

Aillem $v_3[i+1]$

$$\frac{\rho_3[i] v_3[i]}{\rho_3[i+1]} = v_3[i+1] \quad (7)$$

Moment:

$$\begin{aligned} v_3[i+1]^2 \rho_3[i+1] S_3 - v_3[i]^2 \rho_3[i] S_3 &= p_3[i] S_3 - p_3[i+1] S_3 - \tau_w S_l \\ &= \dot{m}(v_3[i+1] - v_3[i]) = S_3(p_3[i] - p_3[i+1]) - f_i \frac{1}{2} \rho_i v_{3i}^2 (S_{2ext} + S_{4int}) \end{aligned} \quad (8)$$

Aillem $p_3[i+1]$

$$p_3[i+1] = \frac{-\dot{m}(v_3[i+1] - v_3[i]) + S_3 p_3[i] - f_i \frac{1}{2} \rho_i v_{3i}^2 (S_{2ext} + S_{4int})}{S_3} \quad (9)$$

Energia:

$$\begin{aligned} \dot{m} \left(h[i+1] - h[i] + \frac{v_3[i+1]^2 - v_3[i]^2}{2} \right) &= \dot{Q} \\ \dot{m} c_p (T_3[i+1] - T_3[i]) + \dot{m} \left(\frac{v_3[i+1]^2 - v_3[i]^2}{2} \right) &= \\ &= \alpha_3[i] (T_2[i] - T_{3i}[i]) S_{2ext} - \alpha_3[i] (T_{3i} - T_4[i]) S_{4int} \end{aligned} \quad (10)$$

Aillem $T_3[i+1]$ tenint en compte que $A = \dot{m} \frac{v_3^2[i+1] - v_3^2[i]}{2}$

$$\begin{aligned} T_3[i+1] &= \frac{T_3[i] (\dot{m} \overline{c_{pi}} - \frac{\alpha_{3i}}{2} (S_{2ext} + S_{4int}))}{\dot{m} \overline{c_{pi}} + \frac{\alpha_{3i}}{2} (S_{2ext} + S_{4int})} + \\ &+ \frac{-\dot{m} \frac{v_3^2[i+1] - v_3^2[i]}{2} + \alpha_{3i} (T_2[i] S_{2ext} + T_4[i] S_{4int})}{\dot{m} \overline{c_{pi}} + \frac{\alpha_{3i}}{2} (S_{2ext} + S_{4int})} \end{aligned} \quad (11)$$

Equació d'estat:

$$\rho RT = p \quad (12)$$

On:

$$S_3 = \frac{D_3^2 - D_2^2}{4} \pi, \quad S_{2ext} = D_2 \pi \Delta x, \quad S_{4int} = D_3 \pi \Delta x, \quad v_{3i} = \frac{v_3[i+1] + v_3[i]}{2}, \quad T_{3i} = \frac{T_3[i+1] + T_3[i]}{2}, \quad \rho_{3i} = \frac{\rho_3[i+1] + \rho_3[i]}{2}, \quad \overline{c_{pi}} = \frac{1}{T[i+1] - T[i]} \int_{T[i]}^{T[i+1]} c_p dT$$

Els coeficients de transferència de calor α i de fregament f els calcularem de la següent manera:

$$\mu, \lambda, \overline{c_P} \text{ i } \rho = f(T, P, R_{gas}) \quad (13)$$

Les funcions d'aquestes propietats les extraurem de [3], així com les entalpies de formació. Ara que tenim les propietats del fluid de [1] taula B2 obtenim α i de la taula B7, el factor de fricció.

El diàmetre hidràulic és $D_h = D_3 - D_2$.

$$Re = \frac{v_{3i} \rho_{3i} D_h}{\mu}$$

$$Pr = \frac{\mu c_p}{\lambda}$$

$$f = 2 \left[\left(\frac{8}{Re} \right)^{12} + \frac{1}{(A + B)^{3/2}} \right]^{1/12}$$

on $A = \left\{ 2.457 \ln \left[\frac{1}{(7/Re)^{0.9} + 0.027 \varepsilon_r} \right] \right\}^{16}$, i $B = (37530/Re)^{16}$ De la taula B2, num. 1, tercera expressió,

$$Nu = 0.023 Re^{0.8} Pr^{0.4} = \frac{\alpha D_h}{\lambda} \Rightarrow \alpha = \frac{Nu \lambda}{D_h}$$

2.4 Aire exterior 5

Utilitzarem la taula B1 de [1]. Per a cada volum de control avaluem $T_m[i] = \frac{T_4[i] + T_{ext}}{2}$, després calculem les propietats termofísiques següents segons l'annex D0 de [1]:

$$\mu, \lambda, \overline{c_P}, \beta \text{ i } \rho = f(T_m, P, R_{gas}) \quad (14)$$

Amb les propietats podem calcular en aquest ordre:

$$Pr = \frac{\mu c_p}{\lambda}$$

$$Gr = \frac{g \beta \rho^2 |T_w - T_f| D_4^3}{\mu^2}$$

$$Ra = Gr Pr$$

Comprovem si $10^3 < Ra < 10^9$ (laminar) o $Ra \geq 10^9$ (turbulent)

$$Nu = C Ra^n K = \frac{\alpha D_4}{\lambda} \Rightarrow \alpha_5 = \frac{Nu \lambda}{D_4} \quad (15)$$

en cas laminar $C=0.47$, $n=1/4$ i $K=1$, si és turbulent $C=0.1$, $n=1/3$ i $K=1$.

3 Algorisme de càlcul

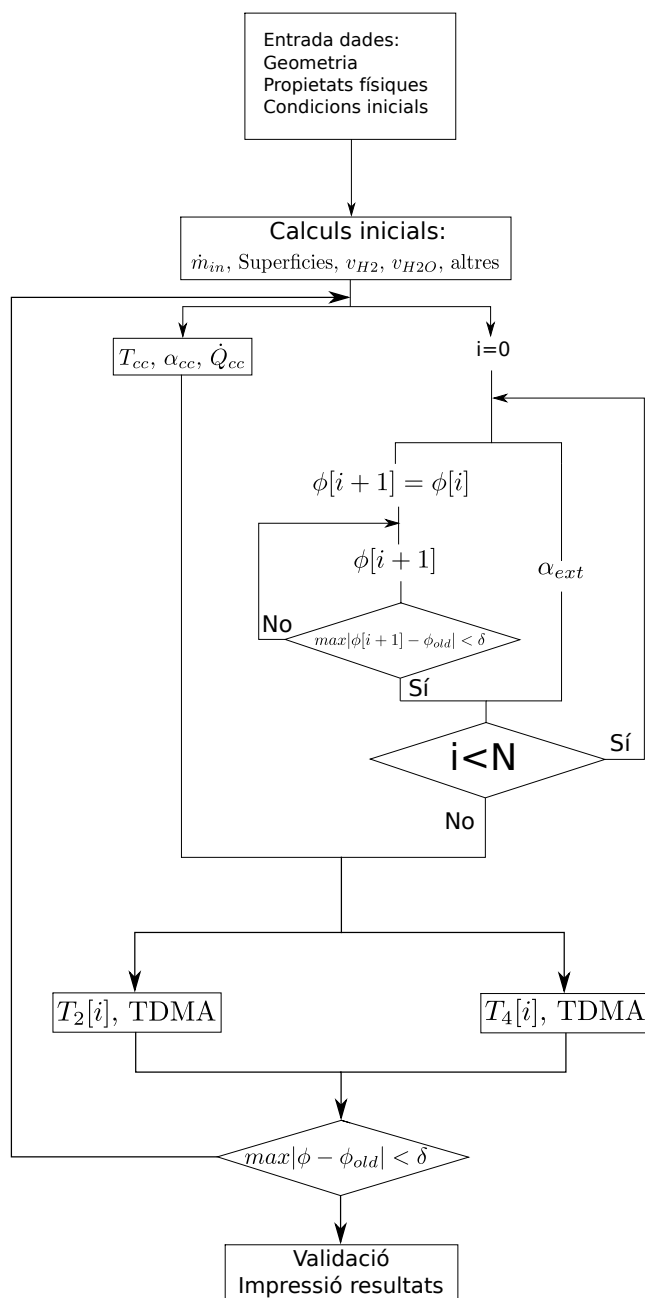


Figura 2: Diagrama de flux

Referències

- [1] Heat and Mass Transfer Technological Center (CTTC). *FORMULAE FOR THE RESOLUTION OF FLUID DYNAMICS AND HEAT AND MASS TRANSFER PROBLEMS*. (Anglès). URL: https://atenea.upc.edu/pluginfile.php/4602606/mod_resource/content/8/Formulae-v3.2a.pdf.
- [2] Heat and Mass Transfer Technological Center (CTTC). *Furnaces and boilers. Review of combustion..* (Anglès).
- [3] Heat and Mass Transfer Technological Center (CTTC). *Thermodynamic and transport properties*. (Anglès).